

## 飽和粘性土の動的強度に及ぼす圧密拘束圧の影響について

山口大学 工学部

正員 大原資生

山口大学 大学院

学生員 小串利勝

富士PSコンクリート(株)

三井欣二

まえがき 過圧密比が増加すると 静止土圧係数が大きくなることはよく知られている。ところが 土の動的強度に及ぼす圧密拘束圧(静止土圧係数)の影響に関する実験は過圧密供試体を行なった例がほとんどである。本研究では従来から使用されている単純せん断試験装置にセル室を設け異方・等方圧密状態の供試体を作製し応力制御方式による動的単純せん断試験を行い動的せん断強度を測定した。

### 2. 試料および供試体の作製方法 試料は

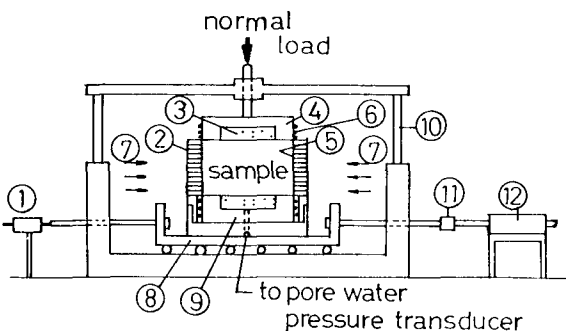
カオリン粘土( $G_s = 2.685$ ,  $W_L = 38.6\%$ ,  $W_P = 24.6\%$ )を用いた。こくに脱氷水を加え飽和状態にした後、せん断箱のゴムスリーブの中に詰め所定の鉛直圧(0.5, 0.7, 1.0 kgf/cm<sup>2</sup>)を1.5時間圧密する。次に鉛直圧をかえずに  $K_0 = 0.5, 0.7, 1.0$ となるようにセル室内に圧縮空気を送り込み側圧を載荷し21.5時間異方または等方圧密を行なう。圧密後の供試体寸法は、直径7.5cm、高さ約2.0cmの円板状である。

### 3 動的単純せん断試験

(1) 実験装置および実験方法 Fig.1に実験装置の概略を示す。せん断箱は Kellman型でゴムスリーブに包まれた供試体はせん断中の膨らみを防ぐため周囲に内径75.2mm、外径96.0mm、厚さ2.0mmのプラスチックリングが13~14枚重ねられている。実験方法はレギュレーターによって一定の圧力を調整された空気がリレー回路を使つて電磁弁の開閉によって復動式ペロフラムシーダーの左右の圧力室に交替的に送り込まれることによって供試体に繰り返しせん断応力を載荷する。繰り返しせん断応力は正弦波状でありまた載荷周期は2秒とした。

供試体の破壊は、せん断ひずみが急増する点と定義し、繰り返しせん断応力を  $\tau_d$ 、破壊時の動的せん断応力を  $\tau_{df}$ 、過剰間隙水圧を  $U_{df}$ とした。

(2) 実験結果および考察 Fig.2は動的せん断強度( $\tau_d$ )と実験時鉛直圧( $\sigma_v$ )を正規化した動的せん断強度比( $\tau_d/\sigma_v$ )と破壊するまでの繰り返し回数( $N_f$ )との関係を示す。動的せん断強度比は  $N_f$  の増加とともに小さくなっている。粘性土は繰り返し載荷により軟化することが



- |                           |                       |
|---------------------------|-----------------------|
| ① Displacement transducer | ⑦ Chamber stress      |
| ② Plastic rings           | ⑧ Horizontal carriage |
| ③ Porous stone            | ⑨ Pedestal            |
| ④ Top cap                 | ⑩ Lucite              |
| ⑤ Rubber membrane         | ⑪ Load cell           |
| ⑥ O-rings                 | ⑫ Bellofram cylinder  |

Fig.1 Dynamic simple shear test apparatus

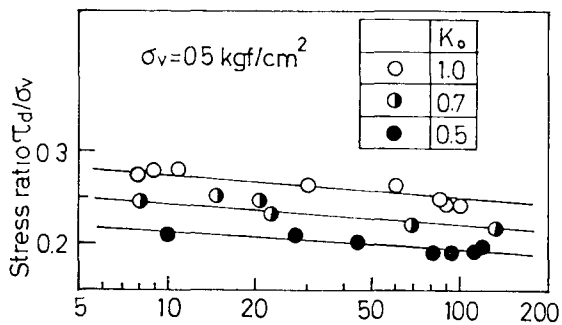


Fig.2 Relationship between  $\tau_d/\sigma_v$  and  $N_f$

わかる。また 静止土圧係数が大きくなるにつれて 動的せん断強度比は増加している。この原因として 静止土圧係数の増加に伴い平均主応力が増加するためと考えらる。

Fig.3は 破壊時の過剰間隙水圧( $U_{df}$ )を鉛直圧( $\sigma_v$ )で正規化した間隙水圧比( $U_{df}/\sigma_v$ )と $N_f$ との関係を示したものである。図より  $N_f$ が増加すると過剰間隙水圧の発生量は多くなるといふが 静止土圧係数が変化しても 過剰間隙水圧の発生量にはほとんど差がないことがわかる。Fig.2とFig.3より 破壊時の過剰間隙水圧は 静止土圧係数に関係なく 同じ量発生するが 動的せん断強度比には 静止土圧係数の違いによる差がみられる。これは 過圧密試験体の場合と異なり傾向である。

鉛直圧( $\sigma_v$ ) = 0.7, 1.0 kgf/cm<sup>2</sup>に觸しても同様な傾向が得らるといふ。

Fig.4は 破壊時の動的せん断強度( $\tau_{df}$ )と有効鉛直圧( $\sigma'_v$ )の関係を示したものである。図の各々の点は、静止土圧係数および鉛直圧ごとに 一本の直線を形成しており Hvorslevの基準に基づく破壊線と考えらる。つまり 次式を表わさる。

$$\tau_{df} = C'_{sd} + \sigma'_v \tan \phi'_{sd}$$

図から 動的内部摩擦角( $\phi'_{sd}$ )は 静止土圧係数、鉛直圧の違いによる差はほとんどなく 6.2~8.5°である。しかし 動的粘着力( $C'_{sd}$ )は 鉛直圧が増加するにつれ そして 静止土圧係数が増加するにつれて 大きくなっていることがわかる。

Fig.5は Fig.4で求めた動的粘着力( $C'_{sd}$ )と鉛直圧で正規化した粘着力係数( $C_{sd}/\sigma_v$ )と静止土圧係数の関係を示したものである。鉛直圧が大きいほど 逆に粘着力係数は小さくなっているが、鉛直圧の違いにより 粘着力係数はあまり変化しない。しかし 静止土圧係数の増大に伴い 粘着力係数は大きくなっている。

4 まとめ 動的せん断強度は、静止土圧係数の増加に伴い、大きくなる。この原因として 静止土圧係数の増加により 粘着力が大きくなるためと考えらる。また 破壊時の過剰間隙水圧の発生量には 静止土圧係数の影響はみられない。

参考文献 大原 浩本 生田; 第31回中四国土木学会講演概要集「過圧密飽和粘土の動的強度について」

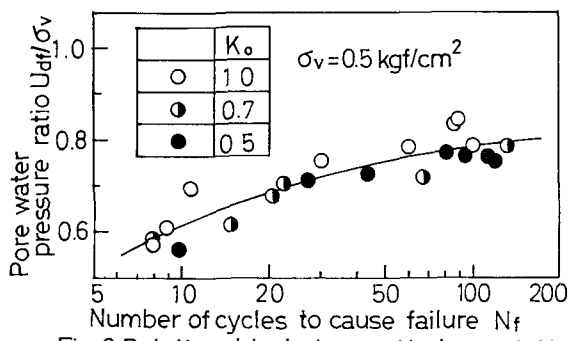


Fig.3 Relationship between  $U_{df}/\sigma_v$  and  $N_f$

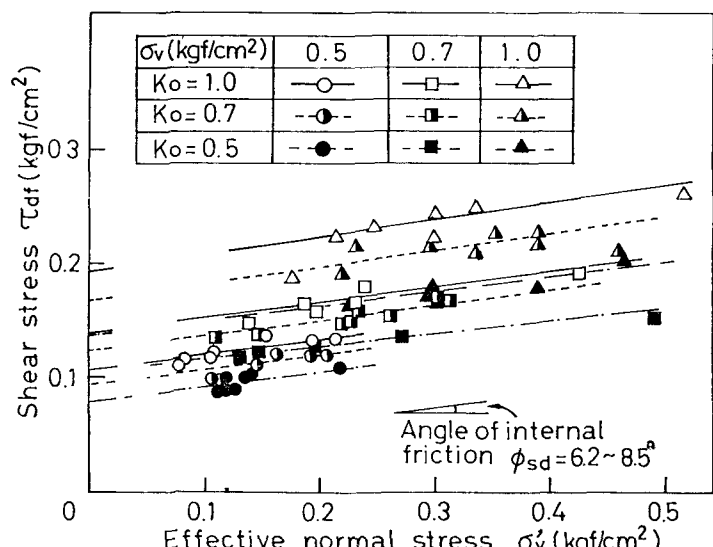


Fig.4 Mohr diagram at failure for dynamic simple shear test

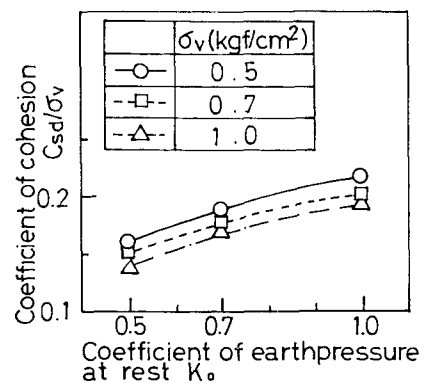


Fig.5 Relationship between  $C_{sd}/\sigma_v$  and  $K_0$